

بررسی لایه نانو ساختار سطحی ایجاد شده به روش آسیاکاری مکانیکی در سطح فولاد ساده کربنی

سعید کهربائی

فرساد فرقانی

گروه مهندسی مواد و متالورژی، مؤسسه آموزش عالی سجاد دانشکده مهندسی متالورژی و مواد، دانشگاه تهران

عطاء دولت مرادی

دانشکده مهندسی متالورژی و مواد، دانشگاه تهران

جلیل وحدتی خاکی، محسن حداد سبزوار

گروه مهندسی مواد و متالورژی، دانشکده مهندسی، دانشگاه فردوسی مشهد

(دریافت مقاله: ۹۱/۰۲/۱۲ - پذیرش مقاله: ۹۲/۰۲/۱۷)

چکیده

در این پژوهش خواص ریزساختاری لایه نانو ساختاری، ایجاد شده به روش آسیاکاری مکانیکی بر سطح فولاد ساده کربنی (CK45)، به کمک آزمون پراش پرتو ایکس، مطالعات میکروسکوپ نوری و مطالعات میکروسکوپ‌های الکترونی روشنی (FESEM و SEM) مشخصه یابی شد. نتایج بررسی‌ها حاکی از تشکیل لایه نانو ساختار در سطح فولاد ساده کربنی با ضخامت بیش از ۳۰ میکرومتر می‌باشد. حداقل متوسط اندازه دانه در لایه سطحی نمونه آسیاکاری شده برای مدت ۱۲ ساعت و برابر ۱۵ نانومتر بدست آمد. همچنین مشاهده شد که با به کارگیری روش فوق برخی از خواص ماده از قبیل اندازه دانه و سختی از سطح به مغز به صورت تدریجی تغییر می‌یابند.

واژه‌های کلیدی: آسیاکاری سطحی، لایه نانو ساختار سطحی، مشخصه یابی ریزساختاری

Investigation of nanostructured surface layer on a low carbon steel induced by mechanical milling

F. Forghani

Department of Metallurgy and Materials Engineering, University of Tehran

S. Kahrobaee

Department of Materials Science and Metallurgical Engineering, Sadjad Institute of Higher Education

A. Dolatmoradi

Department of Metallurgy and Materials Engineering, University of Tehran

J. Vahdati Khaki and M Haddad-Sabzevar

Department of Materials Science and Metallurgical Engineering, Ferdowsi University of Mashhad

(Received 1 May 2012, accepted 7 May 2013)

Abstract

In the present study, the microstructural properties of the nanostructured surface layer of a low carbon steel (CK15) fabricated by ball milling technique was characterized using X-ray diffractometry, optical and scanning electron microscopies (SEM and FESEM). The results indicate that a nanostructured layer with the thickness of more than 30 μm was formed on the surface of the steel by applying surface milling treatment. The minimum of the average grain size in top of surface layer was found to be about 15 nm after milling for 12 hours. Moreover, it was found that by applying the mentioned method, the average grain size and the hardness in the top of surface layer gradually vary as a function of depth below the surface

Keywords: Surface milling, Nanostructured surface layer, Microstructure characterization.

E-mail of corresponding author: vahdati@um.ac.ir

مقدمه

دبیال خواهد داشت. این تغییر خواص در سطح در حالی

صورت می‌گیرد که خواص مغز نمونه تغییر نمی‌کند [۴ و ۵].^۱ به دلیل همین رفتار قابل توجه مواد دارای سطوح نانوبلورین است که امروزه شناسایی روش‌های جدید که کارایی، سهولت و قابلیت صنعتی شدن بیشتری داشته باشند، بسیار مورد توجه می‌باشد. همچنین تحقیقات فراوانی در جهت مشخصه‌یابی ساختارهای حاصل از این روش‌ها در جریان می‌باشد.

عملیات آسیاکاری مکانیکی علیرغم کاربرد وسیع آن در تولید پودرهای نانوساختار و فوق العاده ریز دانه، در ایجاد مناطق نانوساختار موضعی در نمونه‌های حجیم، کمتر مورد توجه قرار گرفته است [۶]. بنابراین به نظر می‌رسد، ارائه روشی مبتنی بر آسیاکاری مکانیکی به منظور ریزدانه نمودن ساختار در سطح فلزات با توجه به سادگی و دسترسی این روش بسیار قابل توجه خواهد بود.

در پژوهش حاضر، از روش آسیاکاری مکانیکی ماهواره‌ای به منظور تشكیل لایه نانوساختار در سطح نمونه‌های دیسکی یک فولاد ساده کربنی بهره برده شده است. استفاده از روش مذکور با توجه به سهولت عملیات، قابل کنترل بودن پارامترهای عملیات و قابلیت صنعتی شدن بالاتر، بر روش‌های مشابه ارجحیت خواهد داشت. علاوه بر این، لایه نانوساختار تشکیل شده در سطح فولاد به روش مذکور مورد ارزیابی قرار گرفته است.

مواد و روش تحقیق

در این تحقیق از میلگرد فولاد ساده کربنی (حاوی ۰/۱۵ درصد وزنی کربن)، تولیدی شرکت فولاد آلیاژی ایران به عنوان نمونه آزمایش استفاده شد. ترکیب شیمیایی این فولاد در جدول ۱ نمایش داده است. در ابتدا فولاد مذکور برای مدت ۶۰ دقیقه و در دمای ۱۱۰۰ درجه سانتیگراد تابکاری شد. سپس با استفاده از عملیات ماشینکاری، نمونه‌های دیسکی شکل با قطر ۲۴/۳ میلیمتر و ارتفاع ۵/۲ میلیمتر از فولاد مذکور تهیه گردید. عملیات آسیاکاری مکانیکی توسط

از آنجا که اکثر آسیب‌ها در فلزات از قبیل سایش، خوردگی، شکست خستگی و... عموماً در سطح نمونه‌های فلزی بروز می‌کنند، لذا بهبود خواص سطحی، معمولاً بهبود رفتار کلی ماده را به همراه خواهد داشت. به همین دلیل بهبود و بهینه‌سازی ریزساختارهای سطحی مواد همواره مورد توجه محققین و صنعتگران بوده است. در دهه‌های اخیر پژوهش‌های زیادی در رابطه با تاثیر تغییر شکل پلاستیک شدید و تغییرشکل‌های کرنش بالا بر کاهش اندازه دانه و به کارگیری روش‌های مختلف به منظور کاهش اندازه دانه صورت گرفته است [۷-۸]. همچنین استفاده از تکنولوژی‌های جدید به منظور کاهش اندازه دانه در سطح فلزات، روز به روز در حال گسترش و بهبود می‌باشد. این روش‌ها عمدتاً بر کاهش اندازه دانه بر پایه سیلان فلز و شکستن دانه‌های درشت، در لایه سطحی فلزات استوار می‌باشد. در همین راستا، اخیراً فرآیندهای نانو بلورسازی سطحی (SNC)^۲^۱ با توجه به خصوصیات منحصر به فرد مواد نانوساختار بسیار مورد توجه قرار گرفته است [۹]. تاکنون روش‌های متنوع جدیدی از قبیل عملیات سایش مکانیکی سطحی (SMAT)^۳^۵، ساقمه زنی التراسونیک (USP) و ساقمه زنی پرانرژی (HESP)^۴^۶، ساقمه زنی بادی^۷^۸، پرتاب توپ^۵^۹، ماسه زنی^۶^{۱۰}، برسکاری^۷^{۱۱} و همچنین برسکاری و سوراخکاری سرعت بالا^۸^{۱۲} و^{۱۳} به منظور ایجاد لایه نانوساختار در سطح فلزات ارائه شده است.

در تمام روش‌های نانو بلورسازی سطحی که تاکنون ارائه شده است، تغییر شکل پلاستیک شدیدی به صورت موضعی در سطح اعمال می‌شود که ریزدانگی شدید سطح و بهبود قابل ملاحظه خواص سطحی، بدون تغییر ترکیب شیمیایی را به

¹ Surface nanocrystallization

² Surface mechanical attrition treatment

³ Ultrasonic shot peening and high-energy shot peening

⁴ Air blast shot peening

⁵ Ball drop

⁶ Sandblasting

⁷ Wire-brushing

⁸ High speed drilling and cutting

دستگاه میکروسختی Buehler-Micromet2100 با استفاده از بار اعمالی ۰/۹۸ نیوتن و برای مدت زمان ۱۵ ثانیه استفاده شد.

مشخصه‌یابی لایه سطحی آسیاکاری شده توسط میکروسکوپ الکترونی رو بشی (SEM, Tescan Vega) و میکروسکوپ FE-SEM, Hitachi S-(4160) صورت پذیرفت. همچنین از آزمون پراش پرتو ایکس Philips X'pert Pro Diffractometer برای محاسبه اندازه دانه و کرنش متوسط در نمونه‌های آسیاکاری شده و پس از تابکاری بهره برده شد. از پرتو Cukα با میزان جابه‌جایی $2\theta = 20^\circ$ و زمان شمارش ۵ ثانیه به منظور اندازه‌گیری مقادیر دقیق پهن شوندگی پیک‌ها استفاده شد. اندازه دانه و کرنش متوسط در هر نمونه با استفاده از روش ویلسون-شرر [۱۶] و با توجه به پهن شدن پیک‌های (۱۱۰)، (۲۰۰)، (۲۱۱)، (۲۲۰) و (۳۱۰) آهن آلفا محاسبه گردید. برای اصلاح خطای دستگاهی در آزمون پراش پرتو ایکس، از نمونه تابکاری شده که دارای اندازه دانه‌های بزرگ و فاقد کرنش است به عنوان نمونه استاندارد بهره برده شد. مقادیر پهنهای پیک ذاتی هر نمونه پس از حذف خطای دستگاهی مطابق رابطه ۱ بدست آمد:

$$\beta_i = W_i \left[1 - \left(\frac{b_i}{W_i} \right)^2 \right] \quad (1)$$

که در این رابطه، β_i پهنهای ذاتی پیک، W_i پهنهای پیک اندازه‌گیری شده و b_i پهنهای همان پیک در نمونه استاندارد می‌باشد. پس از محاسبه پهنهای پیک‌های ذاتی هر نمونه، با فرض گاوی ^۲ بودن کرنش شبکه و تعیت اثر اندازه دانه در پهن شوندگی از تابع کوشی ^۳، از رابطه کوشی-گاوی (بر پایه روش آنالیز انتگرال پهنهای پیک ^۴) بهره برده شد:

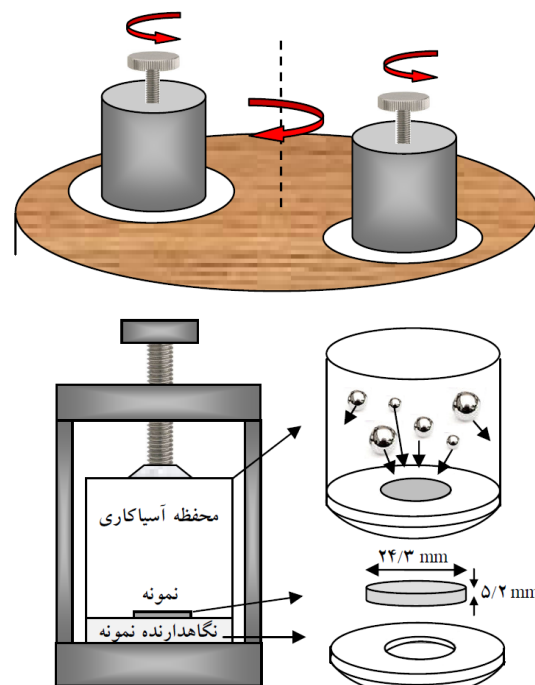
$$\frac{\beta^2}{\tan^2 \theta_0} = \frac{k\lambda}{D} \left(\frac{\beta}{\tan \theta_0 \sin \theta_0} \right) + 20\varepsilon^2 \quad (2)$$

² Gaussian

³ Cauchy

⁴ Integral breadth analysis

آسیاب گلوله‌ای ماهواره‌ای ^۱ و محفظه‌ای با طراحی مطابق شکل ۱، صورت پذیرفت. از نگاهدارنده‌ای از جنس فولاد ساده کربنی حاوی ۰/۴۵ درصد وزنی کربن (فولاد CK45) به منظور ثابت نگه داشتن نمونه استوانه‌ای در کف محفظه آسیاب گلوله‌ای بهره برده شد. عملیات آسیاکاری با سرعت ۲۵۰ دور در دقیقه و تحت شرایط نسبتاً همدم انجام گردید. به منظور ایجاد قدرت بهینه در آسیاکاری از ۱۵ گوی ۸ میلیمتری، ۱۵ گوی ۱۰ میلیمتری و ۱۵ گوی ۱۲ میلیمتری در هر محفظه آسیاب استفاده شد [۱۵]. نمونه‌ها پس از جاسازی در محفظه آسیاب برای مدت زمان‌های ۶، ۱۲ و ۱۸ ساعت آسیاکاری شد.



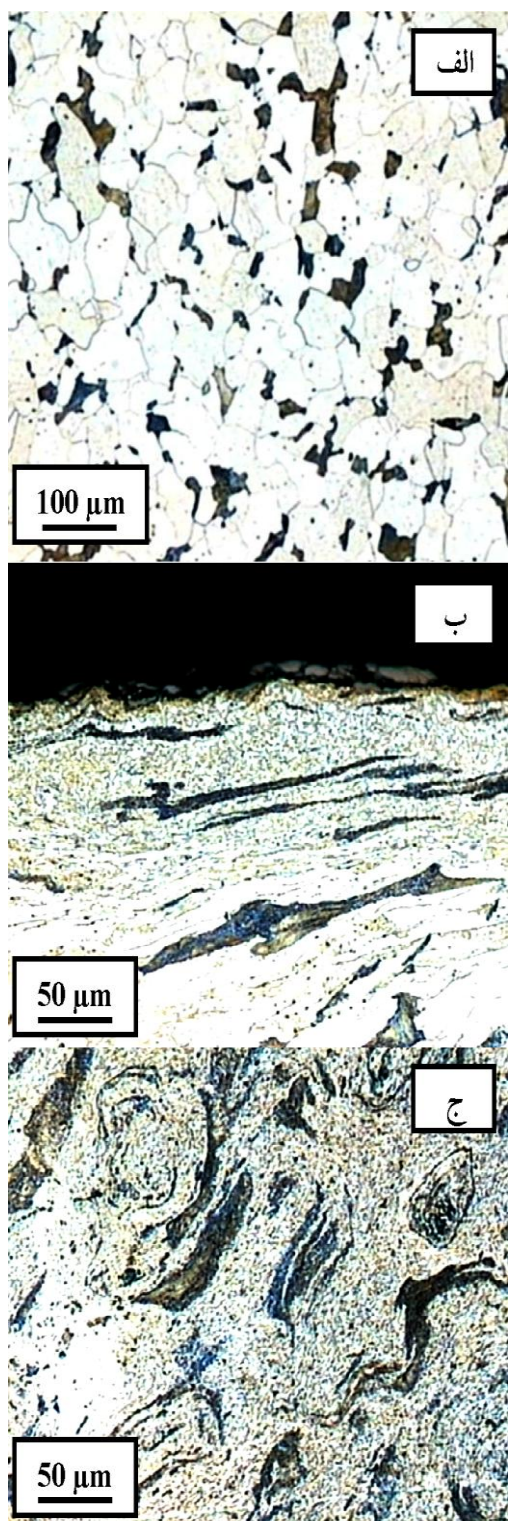
شکل ۱. تصویر شماتیک انجام فرآیند آسیاکاری سطحی.

جدول ۱. آنالیز شیمیابی فولاد مورد استفاده (CK15).

C	Si	Mn	P	Cr	Fe
۰/۱۵۷	۰/۱۴	۰/۰۶	۰/۰۶۷	۰/۲۶۵	۰/۰۰۶

به منظور بررسی‌های ریزساختاری و همچنین مطالعات تغییرات سختی، نمونه‌های آسیاکاری شده مطابق استاندارد آماده‌سازی شدند. میکروسختی نمونه‌ها توسط ASTM-E3

¹ Planetary Ball mill



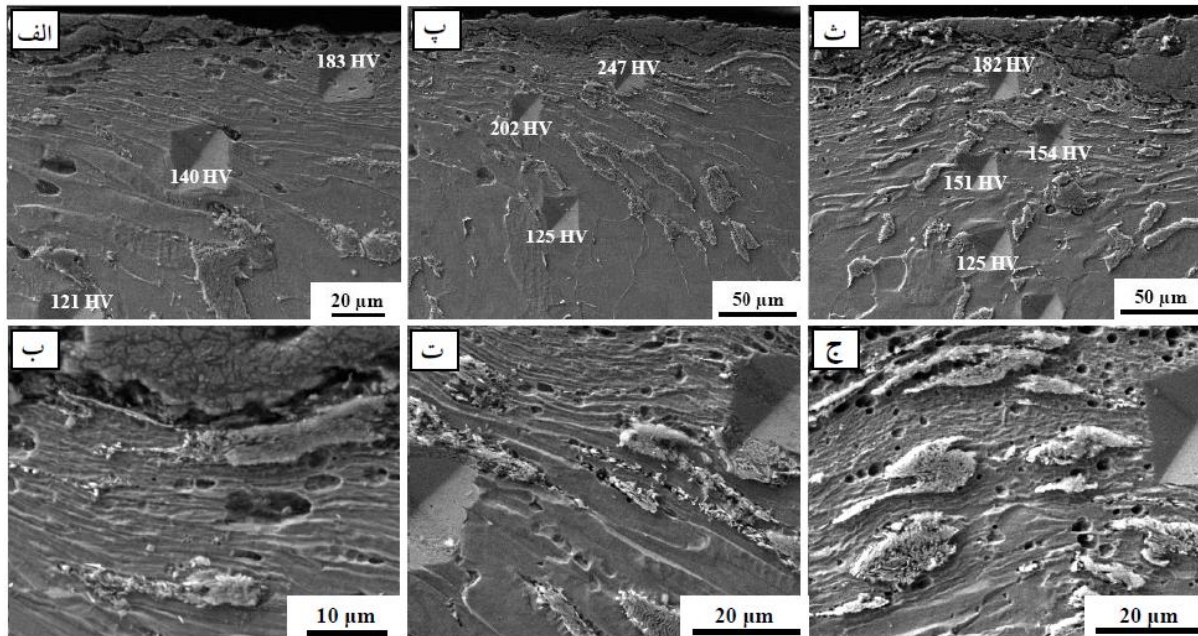
شکل ۲. تصویر میکروسکوپ نوری از (الف) ریزساختار نمونه آسیاکاری نشده، (ب) ریزساختار مقطع عرضی نمونه آسیاکاری شده برای ۱۲ ساعت و (ج) ریزساختار سطح نمونه آسیاکاری شده برای مدت ۱۲ ساعت (در حدود ۲۰ میکرومتر زیر سطح).

در رابطه ۲، β بیانگر پهنهای ذاتی هر پیک، k ثابت و تقریباً برابر با یک، θ_0 موقعیت ماکریتم پیک، D و ϵ نیز به ترتیب میانگین اندازه دانه و میانگین کرنش در سطح نمونه می‌باشند [۱۶].

نتایج و بحث

شکل ۲ ریزساختار نمونه آسیاکاری نشده و همچنین مقطع عرضی و طولی نمونه آسیاکاری شده برای مدت زمان ۱۲ ساعت را نمایش می‌دهد. در تصویر مقطع عرضی نمونه (شکل ۲-ب)، تشکیل لایه تغییر شکل یافته سطحی با ضخامتی در حدود ۶۰ میکرومتر در زیر سطح نمونه به وضوح قابل تشخیص است. تشکیل این لایه به دلیل تغییر شکل شدید ناشی از ضربات گلوله‌ها در سطح نمونه بوده که با افزایش فاصله از سطح نمونه از شدت آن کاسته می‌شود. همچنین ذرات کنده شده و یا در حال کنده شدن (پلیسه) در سطح این نمونه مشاهده می‌شود. در شکل ۲-ج سطح نمونه پس از سنباده‌زنی و پولیش جزئی مشاهده می‌شود. عمق ناحیه مذکور در حدود ۲۰ میکرومتر زیر سطح تخمین زده می‌شود. در این شکل تغییر شکل شدید دانه‌های فریت و پرلیت و ایجاد باندهای مواج کاملاً قابل مشاهده است.

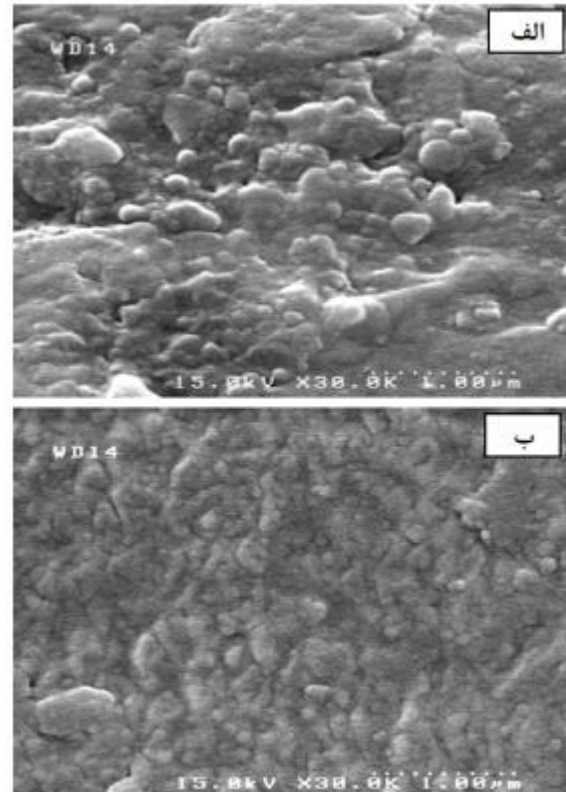
شکل ۳، تصویر میکروسکوپ الکترونی روبشی از سطح مقطع نمونه‌های آسیاکاری شده برای مدت زمان‌های ۶، ۱۲ و ۱۸ ساعت را نشان می‌دهد. در این تصاویر نیز ناحیه کار سخت شده با ساختاری متشدکل از لایه‌های تغییر شکل یافته به وضوح قابل مشاهده است. همانگونه که ملاحظه می‌شود ساختار لایه‌ای پرلیت‌ها در نزدیک سطح دیگر قابل مشاهده نیست. تشکیل لایه کمی تیره‌تر در سطح حاکی از ریزدانه شدن شدید ساختار در سطح نمونه می‌باشد. تشکیل لایه‌های تیره در پژوهش‌های پیشین به عنوان ناحیه نانوساختار به کرات مشاهده شده است [۱۷، ۹].



شکل ۳. تصاویر SEM از مقطع عرضی نمونه‌ها بعد از آسیاکاری به مدت (الف و ب) ۶، (ب و ت) ۱۲ و (ث و ج) ۱۸ ساعت.

علاوه بر این مقادیر سختی نمایش داده شده در شکل ۳ نیز مؤید وقوع تغییر شکل شدید در سطح نمونه می‌باشد. افزایش استحکام ناشی از تغییر شکل‌های شدید معمولاً به کارسختی و تشکیل لایه نانوساختار در سطح منسوب می‌شود [۶]. همچنین باندهای موج^۱ در شکل‌های ۳-ب، ۳-ت و ۳-ج، در نزدیکی سطح قابل مشاهده است. این ریزساختار تا حدودی با ریزساختار نمونه‌های پودری نانوساختار، تهیه شده به روش آسیاکاری، همخوانی دارد [۱۸].

در شکل ۴ تصویر با بزرگنمایی بالا از لایه زیرین (۳۰ میکرومتر پایین‌تر از سطح) نمونه‌های آسیاکاری شده برای مدت زمان ۶ و ۱۲ ساعت، به وسیله میکروسکوپ الکترونی روبشی گسیل میدانی (FE-SEM) نشان داده شده است. در این تصویر دانه‌ها با اندازه‌های زیر ۲۰۰ نانومتر کاملاً مشهود می‌باشند. این مطلب مؤید این نکته است که ضخامت لایه نانوساختار در نمونه‌های آسیاکاری شده از ۳۰ میکرومتر کمتر نمی‌باشد. این ضخامت تقریباً برابر با ضخامت لایه نانوساختار می‌باشد.



شکل ۴. تصویر میکروسکوپ الکترونی روبشی گسیل میدانی (FE-SEM) از سطح نمونه آسیاکاری شده برای مدت (الف) ۶ ساعت و (ب) ۱۲ ساعت (در عمق تقریباً ۳۰ میکرومتری از سطح نمونه).

^۱ Wavy bands

مکانیکی در محدوده‌ی دقت روش ویلسون-شرر نسبت به سایر روش‌های نانوبلورسازی سطحی پایین‌تر می‌باشد که این مطلب و همچنین قابل کنترل بودن پارامترهای مکانیکی عملیات آسیاکاری مکانیکی از جمله مزایای این روش بر سایر روش‌های نانوبلورسازی سطحی می‌باشد [۶، ۸ و ۱۱].

به منظور بررسی تغییرات خواص مکانیکی نمونه از سطح به مغز، از آزمون میکروسختی استفاده شد. برای ترسیم تغییرات سختی از سطح به مغز، نیروی اعمالی به نمونه با توجه به استاندارد ASTM-E384 به گونه‌ای انتخاب شد که علاوه بر امکان تهیه پروفیل سختی و رعایت فاصله‌ی استاندارد تعیین شده بین نقاط اثر فرورونده، از تکرارپذیری^۱ مناسب ($\pm 10\text{HV}$) نیز برخوردار باشد. لازم به ذکر است که خطای موجود در سختی‌های نمونه، ناشی از ناهمگنی ساختار می‌باشد. نتایج اندازه‌گیری‌های میکروسختی در نمونه‌های مختلف در شکل ۷ نمایش داده شده است. در این مورد نیز بیشترین افزایش سختی در نمونه‌ی ۱۲ ساعت آسیاکاری شده مشاهده می‌شود. همچنین در تمام نمونه‌ها با افزایش فاصله از سطح نمونه از میزان سختی کاسته می‌شود. بنابراین می‌توان نتیجه گرفت که با به کارگیری روش حاضر برخی از خواص نمونه از سطح به مغز به طور یکنواخت تغییر می‌یابند.

این مطلب با توجه نتایج آزمون پراش پرتو ایکس و تصاویر میکروسکوپ الکترونی رویشی گسیل میدانی که حاکی از کاهش تدریجی اندازه دانه از مغز به سطح می‌باشد نیز قابل استنتاج است. بنابراین در حالت کلی می‌توان نتیجه گرفت که در نمونه‌های آسیاکاری شده، از مغز به سطح به دلیل افزایش میزان تغییر شکل پلاستیک، اندازه دانه کاهش پیدا کرده و بر میزان چگالی نابهجه‌ای‌ها، کرنش شبکه و در نتیجه سختی افزوده می‌شود.

شده در فولاد مشابه با روش‌های ساچمه زنی پر انرژی و ساچمه‌زنی بادی می‌باشد [۶ و ۸].

الگوهای پراش پرتو ایکس سطح نمونه آسیاکاری نشده (نمونه استاندارد) و نمونه‌های آسیاکاری شده در شکل ۵ نمایش داده شده است. همانگونه که مشاهده می‌شود، افزایش پهنای پیک‌ها در نمونه‌های آسیاکاری شده نسبت به نمونه آسیاکاری نشده به وضوح مشخص است.

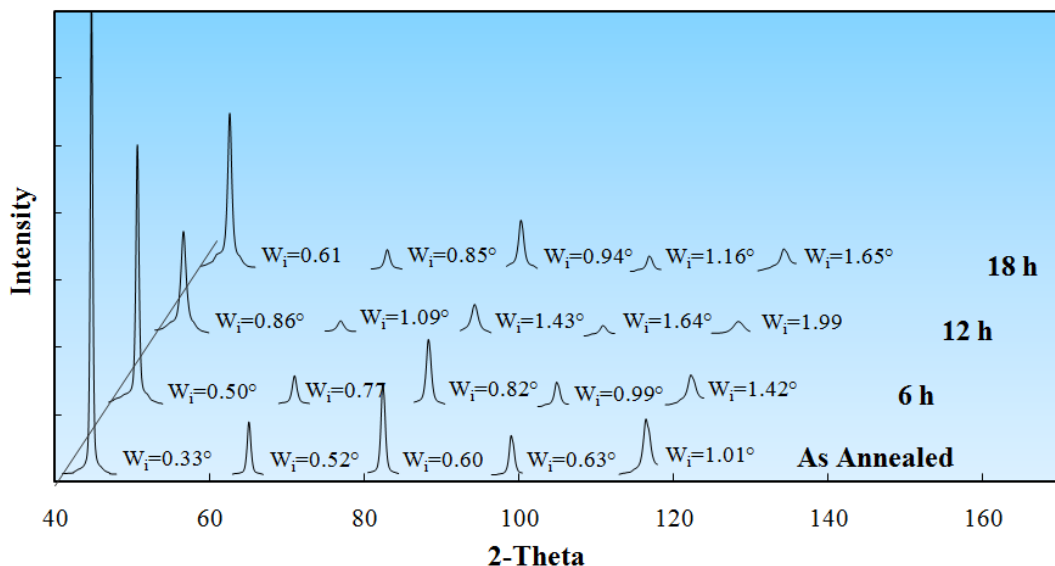
مقادیر پهنای پیک گزارش شده در این شکل نیز مؤید همین نکته می‌باشد. افزایش پهنای پیک در الگوی پراش پرتو ایکس به عیوب شبکه‌ای ایجاد شده (به دلیل ریزدانگی شدید و کرنش شبکه‌ای در اثر تغییر شکل پلاستیک شدید) منسوب می‌شود. همانگونه که شرح داده شد، به منظور تفکیک اثر ریزدانگی از کرنش شبکه‌ای در پهن‌شوندگی پیک‌ها از روش ویلسون-شرر بهره برده شد. مطابق با رابطه ۲، با رسم مقادیر

$$\frac{\beta}{\tan \theta_0 \sin \theta_0} \quad \text{بر حسب} \quad \frac{\beta^2}{\tan^2 \theta_0}$$

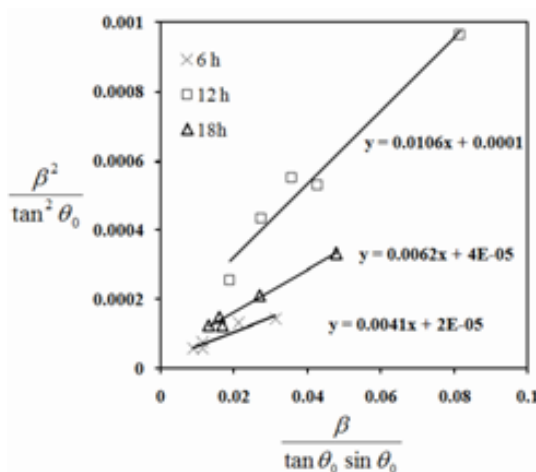
آلfa در نمونه‌های مختلف، مقادیر D و E برای هر نمونه قابل محاسبه خواهد بود [۱۰]. همچنین مقادیر انحراف معیار برای پارامترهای D و E با توجه به پراکندگی داده‌ها نسبت به خط برازش شده و با به کارگیری روابط آماری قابل محاسبه است. شکل ۶ خطوط برازش شده برای نمونه‌های آسیاکاری شده برای مدت زمان‌های ۶، ۱۲ و ۱۸ ساعت را نمایش می‌دهد. همانگونه که ملاحظه می‌شود نتایج داده‌های آزمون پراش پرتو ایکس به طور مناسبی با خطوط رسم شده تطابق دارند.

این مطلب ناشی از زمان شمارش نسبتاً طولانی آزمون پراش پرتو ایکس و همچنین کارآمدی روش به کار رفته در حذف خطای دستگاهی از مقادیر اندازه‌گیری شده پهنای پیک می‌باشد. پارامترهای ساختاری نمونه‌ها، بدست آمده توسط روش فوق، در جدول ۲ نمایش داده شده است. همانگونه که ملاحظه می‌شود میانگین اندازه دانه در لایه‌های سطحی تمام نمونه‌های آسیاکاری شده در محدوده ساختارهای نانو می‌باشد. حداقل متوسط اندازه دانه برای نمونه ۱۲ ساعت آسیاکاری سطحی شده و برابر ۱۵ نانومتر بدست آمد. مقدار اندازه‌دانه حاصل شده با بهره‌گیری از روش آسیاکاری

^۱ Repeatability



شکل ۵. الگوهای پراش پرتو ایکس سطح نمونه‌ی تابکاری شده و نمونه‌های آسیاکاری شده برای مدت زمان‌های ۶، ۱۲ و ۱۸ ساعت (مقادیر W_i ، پهنای پیک اندازه‌گیری شده به روش انتگرال‌گیری از سطح زیر پیک می‌باشند).



شکل ۶. منحنی تغییرات پارامترهای رابطه (۲) برای نتایج آزمون پراش پرتو ایکس نمونه‌های آسیاکاری شده.

هر چند که مشخصه‌یابی مکانیزم نانوساختار شدن سطح و مقایسه آن با مکانیزم‌های ارائه شده در پژوهش‌های پیشین نیاز به مطالعات میکروسکوپ الکترونی عبوری (TEM) دارد، اما با توجه به دستاوردهای مطالعات پیشین، افزایش اولیه و

همانگونه که عنوان شد، با توجه به نتایج اندازه‌گیری اندازه متوسط دانه‌ها توسط آزمون پراش پرتو ایکس (جدول ۲) و مطالعات میکروسکوپ الکترونی (شکل ۴)، می‌توان نتیجه گرفت که اندازه دانه لایه سطحی پس از ۶ ساعت آسیاکاری در محدوده نانوساختار قرار می‌گیرد.

جدول ۲. میانگین اندازه دانه (D) و کرنش شبکه‌ای (E) در لایه سطحی نمونه‌های آسیاکاری شده

	زمان آسیاکاری (ساعت)	D (nm)	$\langle E^2 \rangle^{1/2}$
۶	37 ± 8	$0/0010 \pm 0/0005$	
۱۲	15 ± 3	$0/0022 \pm 0/0007$	
۱۸	24 ± 2	$0/0014 \pm 0/0003$	

در شکل ۳ نیز کاملاً مشهود است که سختی و ضخامت لایه تغییرشکل پیدا کرده با افزایش زمان آسیاکاری افزایش پیدا کرده و در نمونه‌های آسیاکاری شده به مدت ۱۲ ساعت به حداقل مقدار خود می‌رسد، و پس از آن در نمونه‌های ۱۸ ساعت آسیاکاری شده مجدداً کاهش می‌یابد.

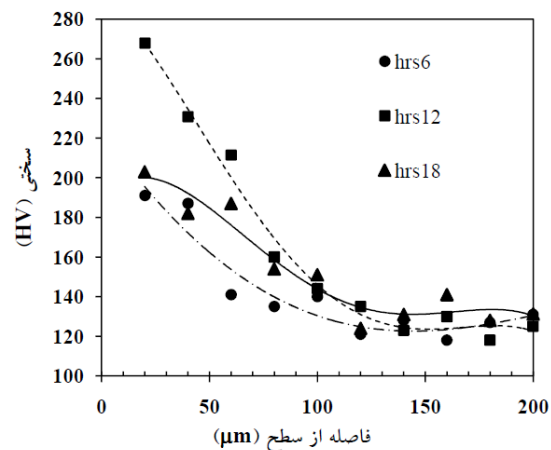
نتیجه‌گیری

در پژوهش حاضر، با بهره‌گیری از روش آسیاکاری سطحی به عنوان یک عامل ایجاد تغییر شکل شدید در سطح، لایه‌ای نانوساختار در سطح فولاد ساده کربنی ایجاد شد. حداقل میزان کارسرد و ریزدانگی پس از ۱۲ ساعت آسیاکاری مکانیکی بدست آمد. متوسط اندازه دانه در سطح این نمونه تقریباً ۱۵ نانومتر محاسبه شد. مشاهده شد که با افزایش زمان‌های آسیاکاری به بیش از ۱۲ ساعت به دلیل ترد شدن دوره‌ای سطح نمونه‌ها و کنده شدن لایه‌ی کارسرد شده، ضخامت لایه کارسرد شده کاهش می‌یابد. همچنین حداقل ضخامت لایه نانوساختار در سطح نمونه‌های آسیاکاری شده تقریباً ۱۵ نانومتر تخمین زده شد. نتایج سختی‌سنجی نیز حاکی از افزایش قابل توجه سختی در سطح نمونه‌ها نسبت به مغز نمونه‌ها می‌باشد. مقادیر سختی از سطح به طور تدریجی آسیاکاری شده با افزایش فاصله از سطح به روش حاضر، روشی کارآمد به منظور ایجاد لایه نانوساختار در سطح فولاد ساده کربنی و ایجاد گرادیانی از خواص از سطح به مغز نمونه می‌باشد.

مراجع

1. N. Kamikawa, N. Tsuji and Y. Minamino, Microstructure and texture through thickness of ultralow carbon IF steel sheet severely deformed by accumulative roll-bonding, *Science and Technology of Advanced Materials*, 5(2004)163-172.
2. S. Rajib and R. K. Ray, Formation of nano- to ultrafine grains in a severely cold rolled interstitial free steel, *Materials Science and Engineering A*, 459(2007)223–226.
3. J. Majta and K. Muszka, Mechanical properties of ultra fine-grained HSLA and Ti-IF steels, *Materials Science and Engineering A*, 464(2007)186-191.
4. K. Lu and J. Lu, Surfacenano-crystallization (SNC) of metallic materials-presentation of the concept behind a new approach, *Journal of Materials Science and Technology*, 15(1999)193-197.

سپس کاهش ضخامت لایه تغییرشکل داده شده، احتمالاً به دلیل رفتار سیکلی سطح نمونه‌های آسیاکاری شده می‌باشد. در حقیقت، با افزایش زمان آسیاکاری، سختی در سطح نمونه‌ها به دلیل پدیده کارسختی افزایش پیدا می‌کند و با ادامه فرآیند آسیاکاری، تنش‌های موضعی در لایه‌های سطحی نمونه، خصوصاً در مناطقی که نقش تمرکز تنش را ایفا می‌کنند، افزایش می‌یابد. این تنش‌های موضعی بعضی از استحکام پیوستگی ماده تجاوز کرده و موجب گسستگی ماده و کنده شدن این نواحی به شکل پلیسه‌های ریز از سطح می‌شود. لذا به دلیل کمتر بودن سختی در لایه‌های زیرین، سختی و ضخامت لایه کارسخت شده در سطح کاهش خواهد یافت. مشاهده پلیسه ریز در سطح نمونه‌های آسیاکاری شده، خصوصاً پس از ۱۲ و ۱۸ ساعت آسیاکاری موید همین نکته می‌باشد. این فرآیند دوره‌ای (سیکلی) در سطح نمونه‌ها که شامل کارسختی و افزایش سختی لایه سطحی و جداسدن آن به شکل پلیسه است، باعث می‌شود که ضخامت لایه کارسخت شده از مقدار مشخصی بیشتر نشده و افزایش مدت زمان آسیاکاری بیش از ۱۲ ساعت موجب افزایش سختی و ضخامت لایه سطحی کارسخت شده، نشود.



شکل ۷. منحنی تغییرات سختی برای نمونه‌های آسیاکاری شده برای مدت زمان‌های ۶، ۱۲ و ۱۸ ساعت.

- surface of a drilled hole in carbon steels, *Acta Materialia*, 55(2007)1397-1406.
13. M. Ya, Y. Xing, F. Dai, K. Lu and L. Lu, *Study of residual stress in surface nanostructured AISI 316L stainless steel using two mechanical methods*, *Surface and Coatings Technology*, 168(2003)148-155.
14. C. C. Koch, The synthesis and structure of nanocrystalline materials produced by mechanical attrition: a review, *Nanostructured Materials*, 2(1993)109-29.
۱۵. فرمانی فرقانی، سعید کهربائی، جلیل وحدتی خاکی و محسن حداد سبزوار، روشی نوین برای افزایش بازدهی عملیات کربن دهی، سومین همایش مشترک انجمن مهندسین متالورژی و انجمن علمی ریخته گران ایران، دانشگاه شهید باهنر کرمان، (۱۳۸۸).
16. H. P. Klug and L. E. Alexander, *X-ray Diffraction Procedures for Polycrystalline and Amorphous Materials*, Wiley, New York, 1974.
17. Z. G. Liu, X. J. Hao, K. Masuyama, K. Tsuchiya, M. Umemoto and S.M. Hao, Nanocrystal formation in a ball milled eutectoid steel, *Scripta Materialia*, 44(2001)1775-1779.
18. Y. Xu, M. Umemoto and K. Tsuchiya, Comparison of nano crystalline Ferrite in Fe-0.89C steels with pearlite and spheroidite structure produce by ball milling, *Materials Transactions*, 43(2002)2205-2212.
5. K. Lu and J. Lu, Chinese Patent, No. 01122980.2, French Patent, FR 2812284 (2001).
6. G. Liu, S. C. Wang, X. F. Lou, J. Lu, K. Lu, Low carbon steel with nanostructured *surface layer induced by high-energy shot peening*, *Scripta Materialia*, 44(2001)1791-1795.
7. A. Sanda, V. Garcia Navas and O. Gonzalo, Surface state of Inconel 718 ultrasonic shot peened: Effect of processing time, material and quantity of shot balls and distance from radiating surface to sample, *Materials and Design*, 32(2011)2213-2220.
8. J. L. Liu, M. Umemoto, Y. Todaka and K. Tsuchiya, Formation of a nanocrystalline surface layer on steels by air blast shot peening, *Journal of Materials Science*, 42(2007)7716-7720.
9. M. Umemoto, B. Huang, K. Tsuchiya, N. Suzuki, Formation of nanocrystalline structure in steels by ball drop test, *Scripta Materialia*, 46(2002)383-388.
10. X. Y. Wang and D. Y. Li, Mechanical, electrochemical and tribological properties of nano-crystalline surface of 304 stainless steel, *Wear*, 255(2003)836-845.
11. M. Sato, N. Tsuji, Y. Minamino and Y. Koizumi, Formation of nanocrystalline surface layers in various metallic materials by near surface severe plastic deformation, *Science and Technology of Advanced Materials*, 5(2004)145-152.
12. J. G. Li, M. Umemoto, Y. Todaka and K. Tsuchiya, A microstructural investigation of the